

УДК 536.423

Критерий роста сухих пятен в изотермических пленках жидкости на горизонтальной подложке*

Л.И. Мальцев¹, Ю.С. Поджаров¹, О.А. Кабов^{1,2}

¹Институт теплофизики им. С.С. Кутателадзе СО РАН, Новосибирск

²Новосибирский государственный университет

E-mail: Maltzev@itp.nsc.ru

Предложен критерий развития сухих пятен в изотермических пленках жидкости на горизонтальной подложке. Выведены формулы для сил гравитации и сил поверхностного натяжения, действующих в плоскости подложки на валик, окружающий сухое пятно, баланс которых определяет, какое из малых начальных пятен закроется, а какое разовьется в большое пятно.

Ключевые слова: пленка жидкости, сухое пятно, критерий роста сухого пятна, гравитация, капиллярность, краевой угол смачивания.

Введение

Процессы, происходящие в пристенных пленках жидкости, широко используются в промышленности, в частности, для интенсификации тепломассообмена. При этом снижение толщины пленки позволяет существенно повысить их эффективность. Субмикронная пленка жидкости, образующаяся на границе сухих пятен, за счет интенсивного испарения может вносить большой вклад в суммарный тепломассообмен. Так, авторами работы [1] в режимах пленочного течения с мелкомасштабными смываемыми сухими пятнами был получен тепловой поток, на порядок превышающий тепловой поток, реализуемый при сплошном течении пленки под действием гравитации в рамках того же расхода жидкости. В то же время хорошо известно, что тонкие пленки подвержены разрывам, а это может резко уменьшить эффективность аппаратов, использующих тонкие пленки для испарительного охлаждения, и даже привести к выходу их из строя. Поэтому вопрос об организации охлаждения перегретых поверхностей с помощью пленок жидкости переменной толщины и возможного их разрыва приобретает большое значение. Важным аспектом проблемы разрыва пленки жидкости является влияние смачиваемости подложки [2–4]. В большинстве теоретических моделей разрыва изотермической пленки жидкости равновесный краевой угол смачивания выступает как основной параметр, определяющий критическую толщину пленки [5]. Эксперименты по разрыву пленки

* Работа выполнена при финансовой поддержке Минобрнауки РФ (соглашение № 14.613.21.0011, идентификатор проекта RFMEF161314X0011).

жидкости при отсутствии нагрева качественно подтверждают зависимость критической толщины пленки от равновесного краевого угла смачивания [6]. Последний используется как основной параметр во многих моделях разрыва нагреваемой пленки жидкости [7]. Однако это не согласуется с некоторыми экспериментальными работами [8, 9].

Во второй половине XX столетия появилась серия работ по образованию сухих пятен в пленках жидкости, стекающих по твердой стенке. В работе [10] был предложен критерий появления разрыва в стекающей изотермической пленке жидкости, который получил название критерия Хартли–Мургатройда. Критерий основан на балансе сил поверхностного натяжения и величин потери импульса в стекающей пленке на верхней границе сухого пятна. При расчете сил поверхностного натяжения авторы [10] учитывали только кривизну поперечного сечения свободной границы валика, примыкающего к сухому пятну. То есть априори предполагалось, что сухое пятно является достаточно большим. Поэтому критерий Хартли–Мургатройда дает заниженные оценки для области параметров, определяющих появление сухих пятен. В дальнейшем критерий Хартли–Мургатройда был распространен на пленки, обдуваемые потоком газа, и пленки, находящиеся в условиях тепломассообмена [11, 12]. В работе [13] был предложен более строгий учет сил поверхностного натяжения и сформулирован новый критерий, который позволил оценивать поведение пятна: закроется начальное сухое пятно в пленке или будет развиваться. Показано, что при новом подходе диапазон изменения размеров закрывающихся сухих пятен в рассматриваемой пленке оказывается существенно большим, чем предсказывает критерий Хартли–Мургатройда.

В настоящей работе на основе подхода, примененного в работе [13], выполнен теоретический анализ влияния равновесного краевого угла смачивания, поверхностного натяжения и сил гравитации на критические размеры сухих пятен в изотермической пленке жидкости заданной толщины на горизонтальной плоской подложке.

Анализ сил, действующих на валик, окружающий сухое пятно

Пусть на горизонтальной плоскости в поле сил тяжести находится неподвижная пленка капиллярной жидкости. Допустим, что в некоторый момент в пленке возникло сухое пятно в форме круга. В экспериментальной практике пятно, как правило, окружено характерным жидким валиком. На рис. 1 показаны общий вид сухого пятна с окружающим его валиком и поперечное сечение валика в плоскости, проходящей через его ось симметрии.

На каждый элемент валика, вырезанный центральным углом $\delta\varphi$, действуют сила тяжести и сила, обусловленная наличием поверхностного натяжения на криволинейной поверхности валика. Выпишем выражения для этих сил, действующих в плоскости пластины. Введем следующие обозначения: ρ — плотность жидкости, r_0 — радиус сухого пятна, g — ускорение силы тяжести, h — толщина жидкой пленки. За счет действия сил гравитации в пленке возникает статическое давление $P = \rho g z$, где координата z цилиндрической системы координат (r, φ, z) направлена вдоль оси симметрии валика.

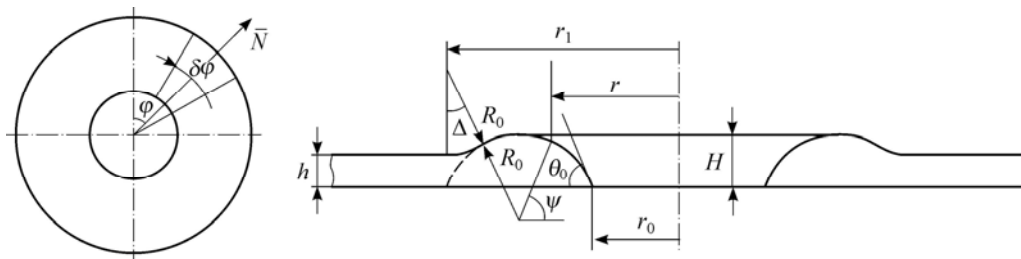


Рис. 1. Схематическое изображение сухого пятна в пленке жидкости.

Суммарное действие сил давления на элемент валика в плоскости подложки составляет $P = -\rho gh^2 r_1 \delta\phi/2$.

Капиллярную силу N , действующую на элемент валика также в плоскости подложки, можно представить в виде $N = \sigma\delta\varphi \int_{(L)} (k_1 + k_2)r(\psi) \cos\psi dS$, здесь σ — коэффициент

поверхностного натяжения жидкости, k_1 и k_2 — главные кривизны поверхности валика в точках контура L его поперечного сечения. Согласно теореме Менье [14], кривизна, связанная с осевой симметрией валика, записывается как $k_1 = \cos\psi/r$. Вторая кривизна, связанная с формой контура L , имеет вид $k_2 = d\vartheta/dS$, где $\vartheta = \pi/2 + \psi$ — угол между подложкой и касательной к контуру L . Следовательно,

$$N = \sigma\delta\varphi \left[- \int_{(L)} \cos^2 \psi R(\psi) d\psi + \int_{(L)} r(\psi) \sin \vartheta d\vartheta \right], \quad (1)$$

здесь $R(\psi)$ — радиус локальной кривизны контура L .

Условие критического состояния сухого пятна в пленке

Под действием сил, действующих на элементы валика в плоскости подложки, валик начинает симметрично расширяться, вбирая в себя жидкость пленки, или сокращаться. Будем считать, что каждый элемент валика движется вдоль его соответствующего радиуса как единое целое. Тогда поведение малого сухого пятна в пленке определяется знаком при величине суммарной силы, действующей на элемент валика в направлении радиуса сухого пятна: пятно закрывается, если эта сила направлена к центру валика, и вырастает в размерах, если сила направлена от центра. Следовательно, равенство

$$P + N = 0 \quad (2)$$

является условием равновесного положения валика.

В преобладающем числе работ, посвященных моделированию сухих пятен и ривулетов, стекающих вдоль границ пятен, границы поперечного сечения валика или ривулета аппроксимируются дугами окружности [15–17]. В настоящем случае также будем считать, что криволинейная граница сечения валика составлена из дуг окружности радиуса R_0 (рис. 1). Наиболее наглядной характеристикой начального возмущения, очевидно, является высота валика H , которая связана с радиусом R_0 соотношением $H = R_0(1 - \cos\theta_0)$.

Рассмотрим подробно частный, физически наиболее вероятный сценарий образования начального сухого пятна. В пленке жидкости непосредственно на стенке возникает газовый (паровой) пузырек, отделенный от атмосферы тонкой пленкой-мембраной. В некоторый момент времени мембрана разрушается, и в пленке образуется сухое пятно круглой формы без валика. В таком случае $H = h$ и поперечное сечение валика представляет собой половину сегмента окружности радиуса R_0 , примыкающей к подложке под углом, равным θ_0 . Тогда $R_0 = h/(1 - \cos\theta_0)$, $r_1 = r_0 + R_0 \sin\theta_0$, $r(\psi) = r_1 - R_0 \cos\psi$.

После того, как форма поперечного сечения валика описана, интегралы в выражении для N принимают вполне определенные значения:

$$N = \sigma\delta\varphi \left[-R_0 \int_{\pi/2-\theta_0}^{\pi/2} \cos^2 \psi d\psi + r_1 \int_{\pi/2-\theta_0}^{\pi/2} \cos \psi d\psi - R_0 \int_{\pi/2-\theta_0}^{\pi/2} \cos^2 \psi d\psi \right].$$

Выполнив вычисления, получим: $N = \sigma\delta\varphi [-R_0(\theta_0 - \sin 2\theta_0/2) + r_1(1 - \cos\theta_0)]$.

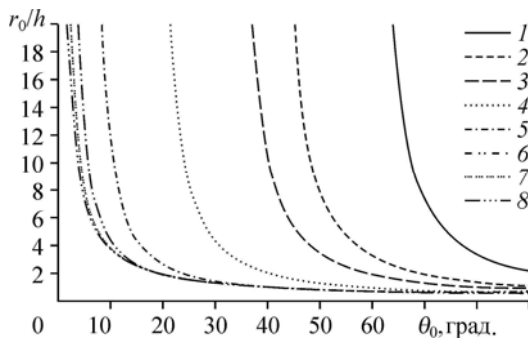


Рис. 2. Результаты расчетов критических значений радиуса сухого пятна в пленке жидкости в зависимости от краевого угла смачивания и числа Бонда.

Bo = 1 (1), 2 (2), 3 (3), 10 (4), 10⁻² (5), 10⁻³ (6), 10⁻⁴ (7), 10⁻⁶ (8).

Подставив равенства для P и N в уравнение (2) и решив его относительно параметра r_0/h , можем записать выражение для определения критических значений размера сухого пятна

в форме

$$\bar{r}_0 = \frac{\theta_0 - (1 - \text{Bo}/2) \sin \theta_0}{(1 - \cos \theta_0)(1 - \cos \theta_0 - \text{Bo}/2)}, \text{ где } \text{Bo} = \frac{\rho g h^2}{\sigma} \text{ — число Бонда.}$$

На рис. 2 показаны критические значения отношения r_0/h в зависимости от числа Бонда и краевого угла смачивания. При каждом значении числа Бонда по знаку равнодействующей силы $F = N + P$ видно, что в области, находящейся выше и правее соответствующего графика на рис. 2, сухое пятно имеет тенденцию к расширению, в области ниже и левее графика — к его сужению, вплоть до исчезновения. Как видим, при числах Бонда, меньших $\text{Bo} = 0,001$, критические значения r_0/h практически от него не зависят и определяются величиной краевого угла смачивания.

В литературе уделяется существенное внимание исследованию разнообразных аспектов растекания жидкости по подложке при различных значениях коэффициента гравитационной перегрузки $n = g/9,8$, где g есть ускорение свободного падения, выраженное в м/с^2 [18]. В экспериментальной практике для создания условий с пониженной гравитацией проводят параболические полеты на самолетах, используют космические аппараты и др. В условиях параболического полета коэффициент перегрузки принимает значение порядка $n = 0,1$ и менее [18]. В условиях международной космической станции (МКС) $n = 10^{-3}$, в условиях свободного падения на башнях сбрасывания $n = 10^{-5}$. В качестве примера, применительно к пленкам воды толщиной 0,25 мм, в таблице показаны числа Бонда, соответствующие различным значениям коэффициента перегрузки n .

Из данных, приведенных на рис. 2, следует, что для тонких пленок воды условий параболического полета практически достаточно для моделирования явлений, связанных с образованием сухих пятен в пленках, как в условиях МКС, так и в условиях полной невесомости.

Таблица

Число Бонда, соответствующее значениям коэффициента гравитационной перегрузки

n	10^{-5}	10^{-3}	10^{-1}	1	2	5
Bo	$8,33 \cdot 10^{-8}$	$8,33 \cdot 10^{-6}$	$8,33 \cdot 10^{-4}$	$8,4 \cdot 10^{-3}$	0,0168	0,042

Выводы

Критические значения отношения радиуса сухого пятна к толщине пленки жидкости определяются числом Бонда и величиной краевого угла смачивания. При углах смачивания, превышающих значение $\theta_0 = 70-80$ градусов, влияние числа Бонда на величину отношения r_0/h невелико и сами значения r_0/h малы; однако при средних и малых значениях θ_0 роль числа Бонда исключительно велика, а отношение r_0/h принимает большие критические значения. То есть при малых значениях θ_0 и большие сухие пятна

имеют тенденцию к закрытию. В условиях полной невесомости, а также в условиях, приближенных к ним (параболический полет, МКС), критические значения отношения радиуса сухого пятна к толщине слоя жидкости практически не зависят от числа Бонда и определяются величиной краевого угла смачивания. Следовательно, условия параболического полета достаточны для моделирования явлений, связанных с образованием сухих пятен в пленках жидкости, как в условиях МКС, так и в условиях полной невесомости.

Список литературы

1. Зайцев Д.В., Родионов Д.А., Кабов О.А. Критический тепловой поток в локально нагреваемой пленке жидкости, движущейся под действием потока газа в мини-канале // Письма в ЖТФ. 2009. Т. 35, вып. 14. С. 88–94.
2. Ajaev V. Instability and rupture of thin liquid films on solid substrates // Interfacial Phenomena and Heat Transfer. 2013. Vol. 1, iss. 1. P. 81–92.
3. Зайцев Д.В., Кириченко Д.П., Кабов О.А. Влияние смачиваемости подложки на разрыв локально-нагреваемой пленки жидкости // Письма в ЖТФ. 2015. Т. 41, вып. 11. С. 79–85.
4. Ajaev V.S., Gatarova E.Ya., Kabov O.A. Stability and break-up of thin liquid films on patterned and structured surfaces // Advances in Colloid and Interface Sci. 2016. Vol. 228. P. 92–104.
5. El-Genk M.S., Saber H.H. Minimum thickness of a flowing down liquid film on a vertical surface // Int. J. Heat and Mass Transfer. 2001. Vol. 44. P. 2809–2825.
6. Kadoura M., Chandra S. Rupture of thin liquid films sprayed on solid surfaces // Experiments in Fluids. 2013. Vol. 54, No. 2. P. 1465-1–1465-11.
7. El-Genk M.S., Saber H.H. An investigation of the breakup of an evaporating liquid film, falling down a vertical, uniformly heated wall // J. Heat Transfer. 2002. Vol. 124. P. 39–50.
8. Кабов О.А. Разрыв пленки жидкости, стекающей по поверхности с локальным источником тепла // Теплофизика и аэромеханика. 2000. Т. 7, № 4. С. 537–545.
9. Зайцев Д.В., Кабов О.А., Чеверда В.В., Буфетов Н.С. Влияние волнообразования и краевого угла смачивания на термокапиллярный разрыв стекающей пленки жидкости // Теплофизика высоких температур. 2004. Т. 42, № 3. С. 449–455.
10. Hartley D.E., Murgatroyd W. Criteria for the break-up of thin liquid layers flowing isothermally over solid surfaces // Int. J. Heat and Mass Transfer. 1964. Vol. 7. P. 1003–1015.
11. Ponter A.B., Davies G.A., Ross T.K., Thornley P.G. The influence of mass transfer on liquid film breakdown // Int. J. Heat and Mass Transfer. 1967. Vol. 10. P. 349–359.
12. Zuber N., Staub F.W. Stability of dry patches forming in liquid films flowing over heated surfaces // Int. J. Heat and Mass Transfer. 1966. Vol. 9. P. 897–905.
13. Мальцев Л.И., Заварзин Д.С. Критерий роста малых сухих пятен в стекающих пленках жидкости // Теплофизика и аэромеханика. 2007. Т. 14, № 2. С. 239–248.
14. Корн Г., Корн Т. Справочник по математике. М.: Наука, 1968. 720 с.
15. Bankoff S.G. Minimum thickness of a draining liquid film // Int. J. Heat and Mass Transfer. 1971. Vol. 14. P. 2143–2146.
16. Wilson S.D.R. The stability of a dry patch on a wetted wall // Int. J. Heat and Mass Transfer. 1974. Vol. 17. P. 1607–1615.
17. Мальцев Л.И., Заварзин Д.С. Математическое моделирование пленочных течений жидкости с «сухими» пятнами // Теплофизика и аэромеханика. 2012. Т. 19, № 6. С. 711–718.
18. Кабов О.А., Зайцев Д.В. Влияние гистерезиса смачивания на растекание капли под действием гравитации // Докл. РАН. 2013. Т. 451, № 1. С. 37–40.

*Статья поступила в редакцию 25 июля 2016 г.,
после доработки — 21 сентября 2016 г.*